

05.4

© 1991

ЧЕТНЫЙ ЭФФЕКТ ХОЛЛА В ПЛЕНКАХ  $YBa_2Cu_3O_x$ 

А.Л. Х о л к и н, В.В. Л е м а н о в,  
Я.В. К о п е л е в и ч

Известно, что в смешанном состоянии сверхпроводников 2-го рода поперечная ЭДС, возникающая при приложении внешнего магнитного поля, может иметь четную по магнитному полю компоненту, обусловленную движением вихрей вдоль определенных направлений, связанных как с неоднородностью самих образцов (возникающей, например, при прокатке лент), так и с неоднородностями магнитного поля [1, 2]. Величина этой „четной“ ЭДС Холла (ЧЭХ) зависит от угла между направлением тока и направлением движения вихрей ( $\alpha \sin 2\alpha$ ), коэффициента вязкости вихрей, магнитного поля и может служить критерием однородности исследуемого образца. При благоприятных условиях четная ЭДС может превышать не только обычный нечетный холловский сигнал, но и соответствующую продольную компоненту [2].

ЧЭХ в ВТСП впервые наблюдалась нами в керамических образцах  $YBa_2Cu_3O_x$ , в которых направляющими для движения вихрей служили собственные случайно ориентированные слабые связи (границы зерен и/или двойников) [3]. Вследствие этого поперечная ЭДС также носила случайный характер и увеличивалась с уменьшением размеров образца. В работе [4] обнаружена четная по магнитному полю поперечная ЭДС в монокристаллах  $YBa_2Cu_3O_x$ , которую автор связывает с неоднородностью образца, появляющейся в сверхпроводящей фазе.

В настоящей работе исследовались пленки  $YBa_2Cu_3O_x$  различного качества, ось с которых была ориентирована перпендикулярно плоскости подложки. Пленки изготавливались магнетронным распылением на подложках  $MgO$ . Температура начала сверхпроводящего перехода составляла 92–93 К, ширина перехода в нулевом магнитном поле 3–4 К.

Методика измерения поперечной ЭДС и исключения ЭДС неэквипотенциальности отличалась от предложенной в [3] и заключалась в следующем. Измерялись напряжения  $V_{12}$  и  $V_{13}$  между холловскими электродами, расположенными, как показано на вставке, к рис. 1. В нормальном состоянии эти напряжения связаны с неэквипотенциальностью, имеют разные знаки и отличаются на постоянный множитель, не зависящий от температуры ( $|V_{12}/V_{13}| = s$ ). В сверхпроводящей фазе в присутствии внешнего магнитного поля, перпендикулярного пленке, к этим напряжениям добавляется поперечная ЭДС  $V_t$ , которая может быть получена из выражения

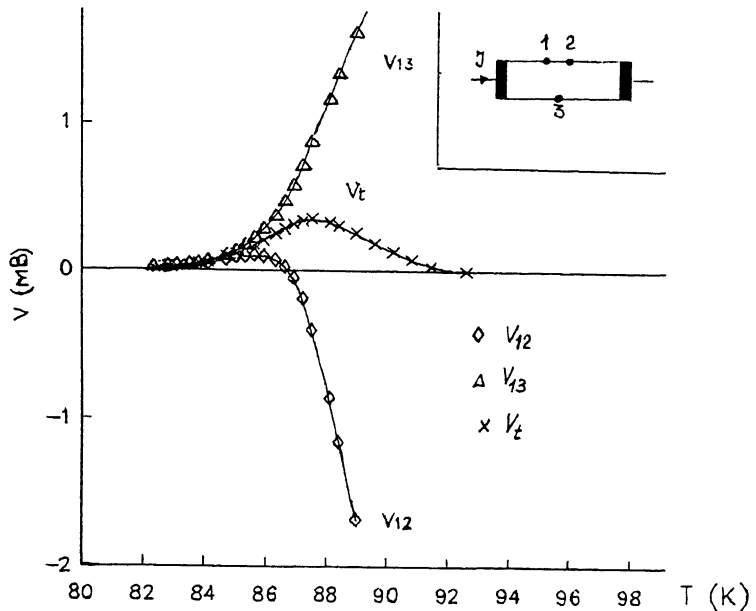


Рис. 1. Температурные зависимости напряжений  $V_{12}$ ,  $V_{13}$  и попечерной ЭДС  $V_t$  в пленке с плотностью критического тока  $5 \cdot 10^3$  А/см $^2$  ( $H=6$  кЭ,  $j=2 \cdot 10^2$  А/см $^2$ ). На вставке – расположение электродов на исследуемой пленке.

$$V_t = \frac{I}{S+I} V_{12} + \frac{S}{S+I} V_{13}. \quad (1)$$

Таким образом, предполагая, что неэквипотенциальность в сверхпроводящей фазе не меняется, и, зная коэффициент  $S$ , измеренный в нормальном состоянии, можно вычислить попеченную ЭДС, несмотря на то, что ее знак не зависит от знака магнитного поля.

Исследовались пленки толщиной 0.1–0.3 мкм, изготовленные при различных условиях и обладающие различной плотностью критического тока ( $j_c = 5 \cdot 10^3 \div 10^5$  А/см $^2$  при 77 К). Установлено, что четный холловский сигнал, рассчитанный по формуле (1), наблюдался во всех исследованных нами пленках, однако его величина и отношение к продольному сигналу ( $V_t = V_{23}$ ), пропорциональное тангенсу холловского угла, варьировались от образца к образцу в широких пределах ( $V_t/V_t \approx 0.001-5$ ). Следует отметить, что в отличие от результатов работы [3] ЧЭХ носила стационарный характер во всем исследованном диапазоне магнитных полей (0.05–10 кЭ).

На рис. 1 представлены типичные температурные зависимости величин  $V_{12}$ ,  $V_{13}$  и  $V_t$  для пленок с низкой плотностью критического тока ( $\approx 5 \cdot 10^3$  А/см $^2$ ). Видно, что при  $T < T_c$   $V_{12}$  меняет

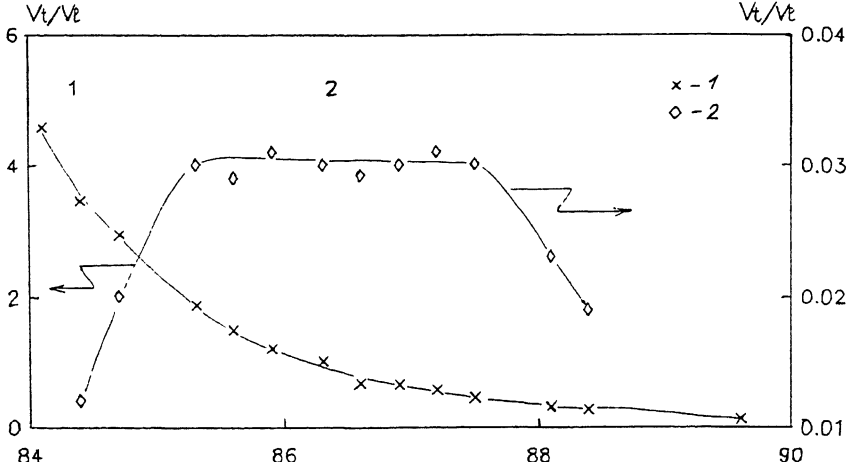


Рис. 2. Отношение поперечного сигнала к продольному в пленках с различной плотностью критического тока:  $5 \cdot 10^3$  А/см<sup>2</sup> (1),  $10^5$  А/см<sup>2</sup> (2).  $H=1.92$  кЭ.

знак, что указывает на существование большой поперечной ЭДС, превышающей продольную при низких температурах. Температурная зависимость  $V_t$ , вычисленная по формуле (1), имеет максимум, сдвинутый примерно на 4 К ниже температуры начала сверхпроводящего перехода. С увеличением магнитного поля величина максимума несколько уменьшается, а его положение смещается в сторону низких температур.

При исследовании пленок с различной плотностью критического тока наблюдалось два типа температурных зависимостей величины  $V_t / V_z$ , характеризующей холловский угол (рис. 2). В пленках с низким критическим током  $V_t / V_z$  непрерывно увеличивается при уменьшении температуры. При увеличении магнитного поля кривая зависимости  $V_t / V_z$  от  $T$  смещается в сторону низких температур. В образцах с высоким критическим током ( $\approx 10^5$  А/см<sup>2</sup>) в температурной зависимости  $V_t / V_z$  наблюдается плато, резко обрывающееся как в сторону высоких, так и в сторону низких температур.

Предположим, что наблюдаемая поперечная ЭДС появляется вследствие движения вихрей вдоль слабых связей, ориентированных вдоль определенных направлений в пленке. Такими выделенными направлениями могут быть двойниковые границы, дислокации, упругие напряжения в пленке и т.д. Следуя работе [2], запишем величину  $V_t / V_z$  в следующем виде

$$V_t / V_z = \frac{t}{l} \left( \frac{k^2 - 1}{\sin 2\alpha_i} + \operatorname{tg} \alpha_i \right)^{-1}, \quad (2)$$

где  $t$  и  $l$  – ширина и длина пленки,  $k$  характеризует распределение каналов по направлениям. При  $k=0$  каналы распределены

изотропно в пространстве (ЧЭХ отсутствует), при  $k=1$  вытянуты под углом  $\alpha_i$  по направлению к току (ЧЭХ максимальна и определяется только углом  $\alpha_i$ ).

симальна и определяется только углом  $\alpha_i$  ).

Если  $k$  и  $\alpha_i$  фиксированы и не зависят от температуры (т.е. сетка слабых связей жесткая), то  $V_t/V_l \approx const$ , что и наблюдается в образцах с высокой плотностью критического тока в определенной области температур. Если  $\alpha_i$  фиксирован внешней неоднородностью, а слабые связи имеют возможность ориентироваться вдоль нее с уменьшением температуры, то коэффициент  $k$  будет расти, а отношение  $V_t/V_l$  будет увеличиваться с уменьшением  $T$ . Такое поведение характерно для пленок с низкой плотностью критического тока (см. рис. 2).

Согласно [2], в образцах с большой четной поперечной ЭДС должна проявляться и анизотропия продольного сигнала, измеренного в двух перпендикулярных направлениях. При этом при достаточно больших  $k$  должно выполняться соотношение  $\rho_4/\rho_t \approx (V_t/V_l)^2$  ( $t/t$ )<sup>2</sup>. Здесь  $\rho_t$  обозначает сопротивление, измеренное в том же направлении, что и  $V_t$ ,  $\rho_t$  - в направлении поперечной ЭДС. Такие измерения были проведены для пленки, в которой наблюдалось высокое отношение  $V_t/V_l$  (кривая 1 на рис. 2). Указанное соотношение выполнялось при низких температурах, что свидетельствует в пользу предполагаемого механизма возникновения поперечной ЭДС.

Отметим, что в наших образцах наряду с четной ЭДС наблюдалась и обычная нечетная ЭДС Холла, выделяемая при изменении знака магнитного поля. Обнаружено, что в нормальном состоянии коэффициент Холла  $R_H \propto T^{-1}$ , что является характерным для ВТСП (см., например, [5]). При  $T < T_c$   $R_H$  меняет знак и достигает отрицательного максимума, величина которого в большинстве случаев много меньше величины четной ЭДС. Существование четной и нечетной холловских компонент в некотором диапазоне температур и магнитных полей свидетельствует о том, что часть вихрей не "чувствует" направляющих и может двигаться в любом направлении в соответствии с балансом сил, действующих на вихрь [6].

Таким образом, в исследованных нами пленках наблюдалась четная по магнитному полю поперечная ЭДС Холла. Температурные зависимости тангенса холловского угла свидетельствуют о наличии двух типов слабых связей, реализуемых в смешанном состоянии пленок с различной плотностью критического тока. Причины, вызывающие движение вихрей в определенных направлениях, в настоящее время не ясны и требуют дальнейших исследований.

Авторы благодарны А.Б. Шерману за предоставление пленок и Э.Б. Сонину за полезные дискуссии.

Работа выполнена в рамках проекта № 347 Государственной программы „Высокотемпературная сверхпроводимость“.

# Список литературы

- [1] Staats F.A., Niessen A.K., Druyvesteyn W.F., van Suchtelen J. // Phys. Lett. 1964. V. 13. N 4. P. 293-295.
- [2] Niessen A.K., van Suchtelen J., Staats F.A.; Druyvesteyn W.F. // Philips Res. Repts. 1965. V. 20. N 3. P. 226-234.
- [3] Копелевич В.Я., Леманов В.В., Сонин Э.Б., Холкин А.Л. // Письма в ЖТФ. 1989. Т. 50. № 4. С. 188-191.
- [4] Chien T.R. // Ph. D. thesis. Princeton university. 1991.
- [5] Iue Y., Nakamura S. // Techn. Rept. ISSP. 1989. N 2153. P. 1-30.
- [6] Юбенер Р.П. Структуры магнитных потоков в сверхпроводниках. М.: Машиностроение. 1984. 224 с.

Физико-технический  
институт им. А.Ф. Иоффе  
АН СССР, С.-Петербург

Поступило в Редакцию  
27 августа 1991 г.